

Starkniederschlagshöhen und -spenden gemäß KOSTRA-DWD-2010R

Auswertungszeitraum von 1951 - 2010, Januar - Dezember

Rasterfeld: 60046

Zeile: 60

Spalte: 46

Seite: 1/2

| Dauerstufe D | Wiederkehrzeit T | | | | | | | | | | | | | | | | | | |
|--------------|------------------|------|------------|------|------------|------|------------|------|------------|------|------------|------|------------|------|------------|-------|------------|-------|------------|
| | 1 a | | 2 a | | 3 a | | 5 a | | 10 a | | 20 a | | 30 a | | 50 a | | 100 a | | |
| min | Std | mm | l / (s ha) | mm | l / (s ha) | mm | l / (s ha) | mm | l / (s ha) | mm | l / (s ha) | mm | l / (s ha) | mm | l / (s ha) | mm | l / (s ha) | mm | l / (s ha) |
| 5 | | 5,3 | 176,7 | 6,9 | 230,0 | 7,9 | 263,3 | 9,1 | 303,3 | 10,8 | 360,0 | 12,5 | 416,7 | 13,4 | 446,7 | 14,7 | 490,0 | 16,3 | 543,3 |
| 10 | | 8,2 | 136,7 | 10,5 | 175,0 | 11,8 | 196,7 | 13,5 | 225,0 | 15,8 | 263,3 | 18,1 | 301,7 | 19,5 | 325,0 | 21,2 | 353,3 | 23,5 | 391,7 |
| 15 | | 10,0 | 111,1 | 12,8 | 142,2 | 14,4 | 160,0 | 16,5 | 183,3 | 19,2 | 213,3 | 22,0 | 244,4 | 23,7 | 263,3 | 25,7 | 285,6 | 28,5 | 316,7 |
| 20 | | 11,3 | 94,2 | 14,5 | 120,8 | 16,3 | 135,8 | 18,7 | 155,8 | 21,8 | 181,7 | 25,0 | 208,3 | 26,9 | 224,2 | 29,2 | 243,3 | 32,4 | 270,0 |
| 30 | | 12,9 | 71,7 | 16,8 | 93,3 | 19,0 | 105,6 | 21,8 | 121,1 | 25,7 | 142,8 | 29,5 | 163,9 | 31,8 | 176,7 | 34,6 | 192,2 | 38,5 | 213,9 |
| 45 | | 14,3 | 53,0 | 18,9 | 70,0 | 21,7 | 80,4 | 25,1 | 93,0 | 29,7 | 110,0 | 34,4 | 127,4 | 37,1 | 137,4 | 40,5 | 150,0 | 45,2 | 167,4 |
| 60 | | 15,1 | 41,9 | 20,4 | 56,7 | 23,5 | 65,3 | 27,4 | 76,1 | 32,8 | 91,1 | 38,1 | 105,8 | 41,2 | 114,4 | 45,1 | 125,3 | 50,4 | 140,0 |
| 90 | | 17,3 | 32,0 | 23,1 | 42,8 | 26,4 | 48,9 | 30,7 | 56,9 | 36,4 | 67,4 | 42,2 | 78,1 | 45,5 | 84,3 | 49,8 | 92,2 | 55,5 | 102,8 |
| 120 | 2 | 19,1 | 26,5 | 25,2 | 35,0 | 28,7 | 39,9 | 33,2 | 46,1 | 39,3 | 54,6 | 45,4 | 63,1 | 48,9 | 67,9 | 53,4 | 74,2 | 59,5 | 82,6 |
| 180 | 3 | 21,9 | 20,3 | 28,5 | 26,4 | 32,3 | 29,9 | 37,2 | 34,4 | 43,8 | 40,6 | 50,4 | 46,7 | 54,2 | 50,2 | 59,1 | 54,7 | 65,6 | 60,7 |
| 240 | 4 | 24,1 | 16,7 | 31,1 | 21,6 | 35,2 | 24,4 | 40,3 | 28,0 | 47,3 | 32,8 | 54,2 | 37,6 | 58,3 | 40,5 | 63,4 | 44,0 | 70,4 | 48,9 |
| 360 | 6 | 27,7 | 12,8 | 35,2 | 16,3 | 39,6 | 18,3 | 45,2 | 20,9 | 52,7 | 24,4 | 60,3 | 27,9 | 64,7 | 30,0 | 70,2 | 32,5 | 77,8 | 36,0 |
| 540 | 9 | 31,7 | 9,8 | 39,9 | 12,3 | 44,7 | 13,8 | 50,7 | 15,6 | 58,8 | 18,1 | 67,0 | 20,7 | 71,8 | 22,2 | 77,8 | 24,0 | 86,0 | 26,5 |
| 720 | 12 | 35,0 | 8,1 | 43,6 | 10,1 | 48,7 | 11,3 | 55,0 | 12,7 | 63,7 | 14,7 | 72,3 | 16,7 | 77,3 | 17,9 | 83,7 | 19,4 | 92,3 | 21,4 |
| 1080 | 18 | 40,1 | 6,2 | 49,5 | 7,6 | 54,9 | 8,5 | 61,8 | 9,5 | 71,2 | 11,0 | 80,5 | 12,4 | 86,0 | 13,3 | 92,9 | 14,3 | 102,2 | 15,8 |
| 1440 | 24 | 44,2 | 5,1 | 54,1 | 6,3 | 59,9 | 6,9 | 67,2 | 7,8 | 77,1 | 8,9 | 86,9 | 10,1 | 92,7 | 10,7 | 100,0 | 11,6 | 109,9 | 12,7 |
| 2880 | 48 | 49,2 | 2,8 | 58,7 | 3,4 | 64,3 | 3,7 | 71,3 | 4,1 | 80,8 | 4,7 | 90,3 | 5,2 | 95,9 | 5,5 | 102,9 | 6,0 | 112,4 | 6,5 |
| 4320 | 72 | 52,4 | 2,0 | 61,7 | 2,4 | 67,1 | 2,6 | 74,0 | 2,9 | 83,3 | 3,2 | 92,6 | 3,6 | 98,0 | 3,8 | 104,9 | 4,0 | 114,2 | 4,4 |

Angaben in mm: Bemessungsniederschlagswerte h(n)

Angaben in l / (s ha): Regenspende R(n) mit $R(n) = h(n) \times 1,666667 / D[\text{min}]$

Toleranzbereiche:

+/- 10 % für $1 \text{ a} \leq T \leq 5 \text{ a}$

+/- 15 % für $5 \text{ a} < T \leq 50 \text{ a}$

+/- 20 % für $50 \text{ a} < T \leq 100 \text{ a}$

Datenbasis: KOSTRA-DWD-2010R des Deutschen Wetterdienstes. Die Regenspende wurde auf Basis des Bemessungsniederschlags zur jeweiligen Andauer berechnet.

Für die Richtigkeit und Aktualität der Angaben wird keine Gewähr übernommen. Erstellt 07/2022.

Starkniederschlagshöhen und -spenden gemäß KOSTRA-DWD-2010R

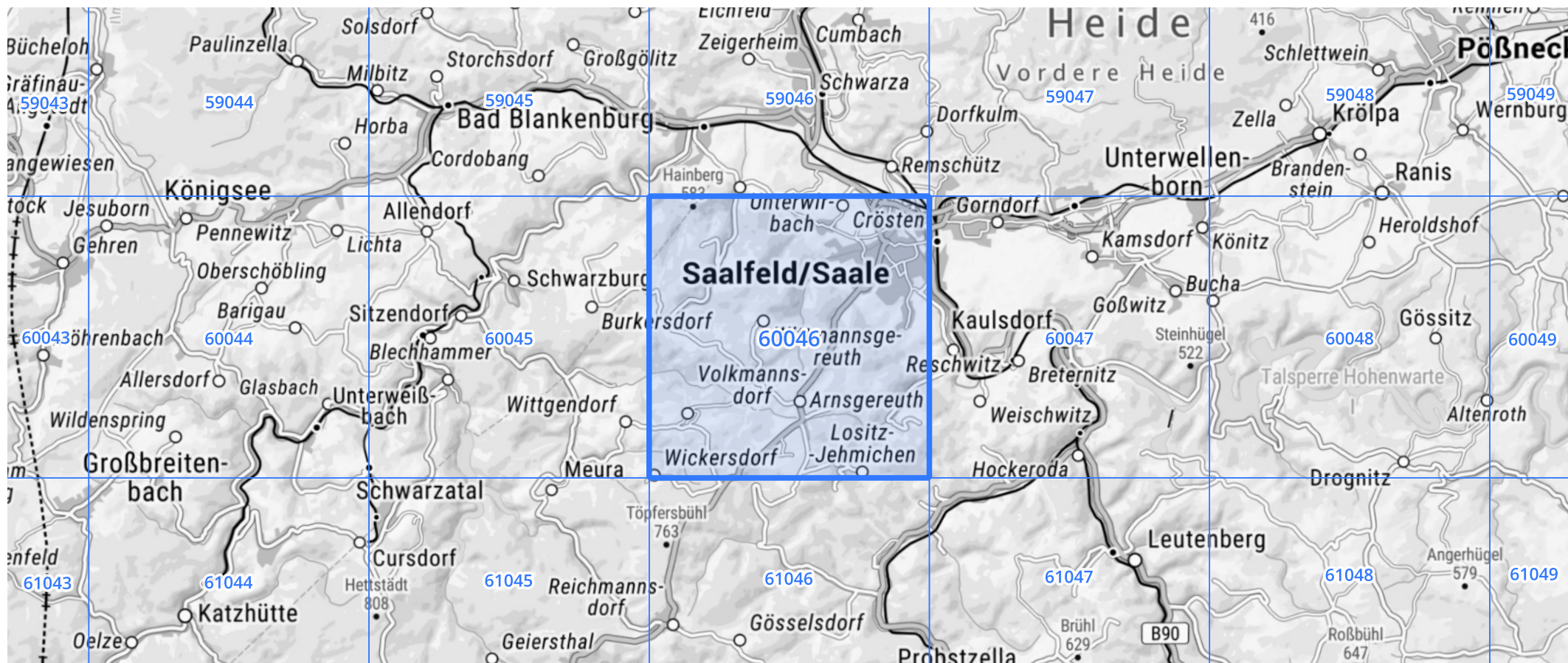
Auswertungszeitraum von 1951 - 2010, Januar - Dezember

Rasterfeld: 60046

Zeile: 60

Spalte: 46

Seite: 2/2



Quelle Rasterdaten: KOSTRA-DWD-2010R des Deutschen Wetterdienstes.

Kartendarstellung: © Bundesamt für Kartographie und Geodäsie (2022), Datenquellen: https://sgx.geodatenzentrum.de/web_public/gdz/datenquellen/Datenquellen_TopPlusOpen.html

Für die Richtigkeit und Aktualität der Angaben wird keine Gewähr übernommen. Erstellt 07/2022.